

Ян Цзяньсюнь

МЕТОД РАСЧЕТА ХАРАКТЕРИСТИК БЕГУЩИХ ВОЛН ДЛЯ СЛОИСТЫХ СРЕД

Введение

В последние годы ведутся активные исследования явлений внутреннего строения Земли и получен ряд важных результатов [1-8], в том числе в [9-12] для изучения структуры скорости поперечных волн в основном применяются формулы дисперсии поверхностных волн. Решение упругого волнового уравнения является одним из самых важных научных направлений в сейсмологии (например, исследование характеристик сейсмических фаз, вычисление пути сейсмических волн, расчет синтетических сейсмограмм и т.д.). Различные волны имеют свои характеристики. Определение этих характеристик играет большую роль для решения волнового уравнения и вычисления дисперсии волн.

Для исследования прямой задачи сейсмических волн большинство работ фокусируются на вычислении дисперсии плоской волны. Классический метод для кусочно-постоянной плоскослоистой среды является метод матрицы перехода ‘Thomson Haskell’ [2]. Фактически в процессе численного расчета возникает проблема потери высокочастотной точности. Для преодоления этой проблемы был разработан ряд новых методов [3-10]. Чжэн Сяофэй (Chen X.F.) предлагает новый метод обобщенного коэффициента отражения-передачи (МОК-О/П) (The generalized reflection-transmission coefficient method) для вычисления дисперсии плоской волны [11].

Метод тензора импеданса часто используется для магнитотеллурического зондирования. Дмитриев В.И. [1] применяет этот метод в сейсмологии для решения спектральных характеристик в изотропной слоистой среде. В настоящей работе рассматривается новый метод тензора импеданса для расчета характеристик бегущих волн из сейсмических данных.

Метод расчета характеристик бегущих волн

Пусть дана слоистая среда с границей $z = z_n, n \in [0, N]$, где $z_0 = 0$ уровень земной поверхности. Внутри каждого слоя $z \in [z_{n-1}, z_n], n \in [1, N]$. Сейсмические параметры λ_n, μ_n, ρ_n положим постоянными. В этой слоистой среде распространяется бегущая волна вдоль оси Ox . Вектор смещения в бегущей волне задается в виде:

$$\vec{U}(x, y, z) = \vec{u}(z)e^{i\gamma x + i\omega t} \quad (1)$$

где ω – частота сейсмического поля, а γ – постоянная (характеристика) распространения бегущей волны, $\vec{u}(z)$ представляет амплитуду бегущей волны. Внутри слоя $\vec{u}(z)$ удовлетворяет уравнению Ламе с постоянными коэффициентами:

$$(\lambda_n + 2\mu_n)\text{grad div}\vec{U} - \mu_n\text{rot rot}\vec{U} + \omega^2\rho_n\vec{U} = 0, z \in [z_{n-1}, z_n] \quad (2)$$

На границе раздела слоев выполняются условия непрерывности смещения $\vec{U}(z)$ и напряженности σ_{ij} , $i, j \in [x, y, z]$, где:

$$\sigma_{ij} = \lambda\delta_{ij}\text{div}\vec{U}(z) + \mu\left(\frac{\partial\vec{U}(z)}{\partial x_j} + \frac{\partial\vec{U}(z)}{\partial x_i}\right), x_i = x, y, z, i \in [1, 3] \quad (3)$$

Подставив выражение для бегущей волны (1) в уравнение Ламе и напряженности, получим:

$$\begin{cases} (\lambda + 2\mu)i\gamma u_x(z) + u'_z(z) - \mu(-u''_x + i\gamma u'_z) + \omega^2\rho u_x = 0 \\ -\mu u''_y - \gamma^2 u_y + \omega^2\rho u_y = 0 \\ (\lambda + 2\mu)i\gamma u'_x(z) + u''_z(z) - \mu(i\gamma u'_x - i\gamma u'_z) + \omega^2\rho u_z = 0 \end{cases} \quad (4)$$

$$\sigma_{xz} = \mu i\gamma u_z(z) + u'_x(z) \quad (5)$$

$$\sigma_{zz} = \lambda + 2\mu u'_z(z) + \lambda i\gamma u_x(z) \quad (6)$$

Т.к. поляризация бегущей волны не зависит оси OY , то $u_y(z) = 0$. В результате получаем систему двух уравнений для смещений u_x, u_z . Упростив систему (1.4), получим:

$$\begin{cases} u''_x + a_x^2 u_x + b_1 u'_z = 0 \\ u''_z + a_z^2 u_z + b_2 u'_x = 0 \end{cases} \quad (7)$$

где

$$a_x^2 = \frac{\rho\omega^2 - (\lambda + 2\mu)\gamma^2}{\mu}, b_1 = \frac{(\lambda + \mu)i\gamma}{\mu}, a_z^2 = \frac{\rho\omega^2 - \mu\gamma^2}{\lambda + 2\mu}, b_2 = \frac{(\lambda + \mu)i\gamma}{\lambda + 2\mu} \quad (8)$$

При $z \rightarrow \infty, u_x, u_z \rightarrow 0$, надо, чтобы $\text{Im}a_x \neq 0$ и $\text{Im}a_z \neq 0$, т.е.:

$$a_x = i\sqrt{\frac{(\lambda + 2\mu)\gamma^2 - \rho\omega^2}{\mu}}, a_z = i\sqrt{\frac{\mu\gamma^2 - \rho\omega^2}{\lambda + 2\mu}} \quad (9)$$

Для решения системы (7) [1] задавал систему дифференциального уравнения в векторной форме:

$$\frac{d\vec{V}}{dz} = \hat{A}\vec{V} \quad (10)$$

где $\vec{V} = v_1 = u_x, v_2 = u_z, v_3 = u'_x, v_4 = u'_z$,

$$\hat{A} = \begin{pmatrix} 0 & 0 & 1 & 0 \\ 0 & 0 & 0 & 1 \\ -a_x^2 & 0 & 0 & -b_1 \\ 0 & -a_z^2 & -b_2 & 0 \end{pmatrix} \quad (11)$$

Пусть дифференциальное (10) уравнение имеет общее решение $\bar{V} = \bar{Y}e^{\eta z}$.
При достаточном и необходимом условии имеем вид:

$$\det(\hat{A} - \eta E) = \det \begin{pmatrix} -\eta & 0 & 1 & 0 \\ 0 & -\eta & 0 & 1 \\ -a_x^2 & 0 & -\eta & -b_1 \\ 0 & -a_z^2 & -b_2 & -\eta \end{pmatrix} = 0 \quad (12)$$

Найдем следующие корни:

$$\begin{aligned} \eta_1 &= \sqrt{\gamma^2 - \frac{\omega^2 \rho}{\mu}}, \quad \eta_3 = -\sqrt{\gamma^2 - \frac{\omega^2 \rho}{\mu}}, \\ \eta_2 &= \sqrt{\gamma^2 - \frac{\omega^2 \rho}{\lambda + 2\mu}}, \quad \eta_4 = -\sqrt{\gamma^2 - \frac{\omega^2 \rho}{\lambda + 2\mu}}. \end{aligned} \quad (13)$$

Полученные четыре корня η являются собственными значениями матрицы \hat{A} . Поэтому для матрицы \hat{A} можно найти 4 собственных векторов в виде:

$$\begin{aligned} a_1 &= [-i\eta_1, -\gamma, -i\eta_1^2, -\gamma\eta_1]^T \\ a_2 &= [-i\eta_1, \gamma, i\eta_1^2, -\gamma\eta_1]^T \\ a_3 &= [\gamma, -i\eta_2, \gamma\eta_2, -i\eta_2^2]^T \\ a_4 &= [\gamma, i\eta_2, -\gamma\eta_2, -i\eta_2^2]^T \end{aligned}$$

Тогда (10) имеем решение:

$$\bar{V} = \begin{pmatrix} v_1 \\ v_2 \\ v_3 \\ v_4 \end{pmatrix} = (a_1, a_2, a_3, a_4) \text{diag}(e^{\eta_1 z}, e^{-\eta_1 z}, e^{\eta_2 z}, e^{-\eta_2 z}) \begin{pmatrix} C_1 \\ C_2 \\ C_3 \\ C_4 \end{pmatrix} \quad (14)$$

Таким образом, поле смещения \vec{U} на двух компонентах x, z можно представить в виде:

$$\begin{cases} u_x = -i\eta_1 e^{\eta_1 z} C_1 - i\eta_1 e^{-\eta_1 z} C_2 + \gamma e^{\eta_2 z} C_3 + \gamma e^{-\eta_2 z} C_4 \\ u_z = -\gamma e^{\eta_1 z} C_1 + \gamma e^{-\eta_1 z} C_2 - i\eta_2 e^{\eta_2 z} C_3 + i\eta_2 e^{-\eta_2 z} C_4 \end{cases} \quad (15)$$

Подставив (13) в условие непрерывности напряженности (3), получим:

$$\begin{cases} \sigma_{xz} = -P_1 e^{\eta_1 z} C_1 + P_1 e^{-\eta_1 z} C_2 + P_2 e^{\eta_2 z} C_3 - P_2 e^{-\eta_2 z} C_4 \\ \sigma_{zz} = -P_3 e^{\eta_1 z} C_1 - P_3 e^{-\eta_1 z} C_2 - P_4 e^{\eta_2 z} C_3 - P_4 e^{-\eta_2 z} C_4 \end{cases} \quad (16)$$

где $P_1 = i\mu \gamma^2 + \eta_1^2$, $P_2 = 2\mu\eta_2\gamma$, $P_3 = 2\mu\eta_1\gamma$, $P_4 = i \lambda + 2\mu \eta_2^2 - \lambda\gamma^2$.

Для слоистых сред имеются следующие граничные условия:

1. Непрерывность смещения и напряженности, т.е.:

$$u_x(z_j) \Big|_{z=z_j+0} = u_x(z_j) \Big|_{z=z_j-0} \quad (17)$$

$$u_z(z_j) \Big|_{z=z_j+0} = u_z(z_j) \Big|_{z=z_j-0} \quad (18)$$

$$\sigma_{xz}(z_j) \Big|_{z=z_j-0} = \sigma_{xz}(z_j) \Big|_{z=z_j+0} \quad (19)$$

$$\sigma_{zz}(z_j) \Big|_{z=z_j-0} = \sigma_{zz}(z_j) \Big|_{z=z_j+0} \quad (20)$$

2. На земной поверхности тензор напряжения равен нулю, выражения (5), (6) имеют вид:

$$\begin{cases} \sigma_{xz} \Big|_{z=0} = 0 \\ \sigma_{zz} \Big|_{z=0} = 0 \end{cases} \quad (21)$$

3. При $z \rightarrow \infty$, $u_x(z) = 0$, $u_z(z) = 0$. (22)

Нам необходимо определить $u_x(z=0) = u_x^0$, $u_z(z=0) = u_z^0$. В каждом слое решение системы двух уравнений второго порядка с постоянными коэффициентами зависит от 4-х неизвестных констант, а в полупространстве $z > z_N$ от двух констант, т.е. необходимо определить $4N - 2$ неизвестные константы. На каждой границе z_j , $j \in [1, N]$ имеем четыре условия сопряжения, а на земной поверхности $z_0 = 0$ два граничных условия. Всего $4N - 2$ уравнения. Определив константы из этих уравнений при условии равенства нулю определителя системы, мы можем определить амплитуду бегущей волны в любой точке слоистой среды. Равенство нулю определителя системы дает нам уравнение для определения постоянной распространения бегущей волны γ для данной слоистой среды и заданной частоты поля ω . Описанный подход крайне сложен. Для упрощения расчета следует соответственно использовать тензор импеданса бегущей волны в слоистой среде.

Определение тензора импеданса

Тензор импеданса сейсмической бегущей волны вводится как величина связывающая напряженности σ_{xz} , σ_{zz} со смещениями u_x , u_z в виде линейных соотношений:

$$\begin{cases} \sigma_{xz} = Z_{xx}u_x + Z_{xz}u_z \\ \sigma_{zz} = Z_{zx}u_x + Z_{zz}u_z \end{cases} \quad (23)$$

где

$$\hat{Z} = \begin{vmatrix} Z_{xx} & Z_{xz} \\ Z_{zx} & Z_{zz} \end{vmatrix} \quad (24)$$

\hat{Z} – тензор импеданса второго ранга. Отметим, что тензор импеданса непрерывен на разрывах λ , μ и ρ , так как непрерывны напряжения и смещения.

Если мы определяем тензор импеданса при $z = 0$, т.е. $\hat{Z}(z = 0) = \hat{Z}^0$, то, согласно граничным условиям (1.9) и (1.10) при $z = 0$ имеем:

$$\begin{aligned}\sigma_{xz}(z = 0) &= Z_{xx}^0 u_x(z = 0) + Z_{xz}^0 u_z(z = 0) = 0 \\ \sigma_{zz}(z = 0) &= Z_{zx}^0 u_x(z = 0) + Z_{zz}^0 u_z(z = 0) = 0\end{aligned}\quad (25)$$

Для существования бегущей волны, т.е. существования $u_x(0)$ и $u_z(0)$ отличных от нуля, должно выполняться условие:

$$\det \hat{Z}^0 = Z_{xx}^0 Z_{zz}^0 - Z_{xz}^0 Z_{zx}^0 = 0 \quad (26)$$

Это дисперсионное уравнение для определения постоянной распространения бегущей волны γ в зависимости от частоты ω и параметров слоистой среды.

Если корни уравнения существуют, то из (1.14) мы можем для данного γ определить отношение амплитуд смещений в бегущей волне:

$$\frac{u_x(z = 0)}{u_z(z = 0)} = -\frac{Z_{xz}^0}{Z_{xx}^0} = -\frac{Z_{zz}^0}{Z_{zx}^0} \quad (27)$$

Таким образом, все сводится к определению тензора импеданса при $z = 0$. Найдем систему уравнений для тензора импеданса. Для этого из (1.12) найдем производные по z от смещения u_x, u_z .

$$\begin{cases} \frac{du_x}{dz} = \frac{1}{\mu} Z_{xx}(z) u_x(z) + \left(\frac{1}{\mu} Z_{xz}(z) - i\gamma \right) u_z(z) \\ \frac{du_z}{dz} = \frac{1}{\lambda + 2\mu} Z_{zx}(z) - i\gamma \lambda u_x(z) + \frac{1}{\lambda + 2\mu} Z_{zz}(z) u_z(z) \end{cases} \quad (28)$$

Тогда внутри слоя, где λ, μ – постоянные, определим вторые производные смещений.

$$\begin{aligned}\frac{d^2 u_x}{dz^2} &= \frac{1}{\mu} Z'_{xx}(z) u_x(z) + Z_{xx}(z) u'_x(z) + \\ &+ Z'_{xz}(z) u_z(z) + Z_{xz}(z) u'_z(z) - i\gamma u'_z(z)\end{aligned}\quad (29)$$

$$\begin{aligned}\frac{d^2 u_z}{dz^2} &= \frac{1}{\lambda + 2\mu} Z'_{zz}(z) u_z(z) + Z_{zz}(z) u'_z(z) + \\ &+ Z'_{zx}(z) u_x(z) + Z_{zx}(z) u'_x(z) - i\gamma \lambda u'_x(z)\end{aligned}\quad (30)$$

Подставив в полученное выражение $u'_x(z)$ и $u'_z(z)$ из (1.17), получим, окончательно

$$\begin{aligned} \frac{d^2 u_x}{dz^2} = & \left(\frac{1}{\mu} Z'_{xx} + \frac{1}{\mu^2} Z_{xx}^2 + \frac{Z_{xz} Z_{zx} - i\gamma\lambda Z_{xz}}{\mu \lambda + 2\mu} - \frac{\gamma^2 \lambda + i\gamma Z_{zx}}{\lambda + 2\mu} \right) u_x + \\ & + \left(\frac{Z_{xz} Z_{xx} - i\mu\gamma Z_{xx}}{\mu^2} + \frac{1}{\mu} Z'_{xz} + \frac{Z_{xz} Z_{zz}}{\mu(\lambda + 2\mu)} - \frac{i\gamma Z_{zz}}{\lambda + 2\mu} \right) u_z \end{aligned} \quad (31)$$

$$\begin{aligned} \frac{d^2 u_z}{dz^2} = & \left(\frac{Z'_{zx}}{\lambda + 2\mu} + \frac{Z_{zz} Z_{zx} - i\gamma\lambda Z_{zz}}{\lambda + 2\mu^2} + \frac{Z_{zx} Z_{xx}}{\mu \lambda + 2\mu} - \frac{i\gamma\lambda Z_{xx}}{\mu \lambda + 2\mu} \right) u_x + \\ & + \left(\frac{Z'_{zz}}{\lambda + 2\mu} + \frac{Z_{zz}^2}{\lambda + 2\mu^2} + \frac{Z_{zx} Z_{xz} - i\mu\gamma Z_{zx}}{\mu \lambda + 2\mu} - \frac{\lambda\mu\gamma^2 + i\gamma\lambda Z_{xz}}{\mu \lambda + 2\mu} \right) u_z \end{aligned} \quad (32)$$

Подставив первые и вторые производные (1.17) -(1.21) в уравнении Ламе (1.4), найдем:

$$\begin{aligned} & Z'_{xx} - i\lambda\mu\gamma Z_{xz} - Z_{zx} - \lambda + 2\mu Z_{xx}^2 - \mu Z_{xz} Z_{zx} + \\ & + 4\mu^2\gamma^2 \lambda + \mu - \omega^2 \rho\mu \lambda + 2\mu u_x + Z'_{xz} - \lambda + 2\mu i\mu\gamma Z_{xx} \end{aligned} \quad (33)$$

$$\begin{aligned} & - i\mu\lambda\gamma Z_{zz} - \lambda + 2\mu Z_{xx} Z_{xz} - \mu Z_{xz} Z_{zz} u_z = 0 \\ & Z'_{zx} + \lambda + 2\mu i\mu\gamma Z_{xx} - i\gamma\mu\lambda Z_{zz} + \lambda + 2\mu Z_{zx} Z_{xx} + \mu Z_{zx} Z_{zz} \\ & - \lambda + 2\mu \mu^2\gamma^2 + \lambda + 2\mu \rho\mu\omega^2 u_x + Z_{zz} + \lambda + 2\mu i\mu\gamma Z_{xz} - \\ & - \lambda + 2\mu i\mu\gamma Z_{zx} + \lambda + 2\mu Z_{xz} Z_{zx} + \mu Z_{zz}^2 + \lambda + 2\mu \mu^2\gamma^2 u_z = 0 \end{aligned} \quad (34)$$

Так как равенство нулю должно выполняться при любых u_x, u_z , то выражения в скобках при u_x и u_z должны быть равны нулю. В результате получаем систему дифференциальных уравнений для компонента тензора импеданса:

$$\left\{ \begin{aligned} \frac{dZ_{xx}}{dz} = & i\lambda\mu\gamma Z_{xz} - Z_{zx} - \lambda + 2\mu Z_{xx}^2 - \mu Z_{xz} Z_{zx} + \\ & + 4\mu^2\gamma^2 \lambda + \mu - \omega^2 \rho\mu \lambda + 2\mu \\ \frac{dZ_{xz}}{dz} = & - \lambda + 2\mu i\mu\gamma Z_{xx} - i\mu\lambda\gamma Z_{zz} - \lambda + 2\mu Z_{xx} Z_{xz} - \mu Z_{xz} Z_{zz} \\ \frac{dZ_{zx}}{dz} = & - \lambda + 2\mu i\mu\gamma Z_{xx} - i\gamma\mu\lambda Z_{zz} + \lambda + 2\mu Z_{zx} Z_{xx} + \mu Z_{zx} Z_{zz} \\ \frac{dZ_{zz}}{dz} = & - \lambda + 2\mu i\mu\gamma Z_{xz} - \lambda + 2\mu i\mu\gamma Z_{zx} + \\ & + \lambda + 2\mu Z_{xz} Z_{zx} + \mu Z_{zz}^2 + \omega^2 \rho\mu \lambda + 2\mu \end{aligned} \right. \quad (35)$$

Система решается при заданных λ_n , μ_n , ρ_n в каждом слое, частота ω при различных значениях γ . В результате вычисляем $\hat{Z}_{z=0} = \hat{Z}^0(\gamma)$ как функцию от γ . Для решения системы необходимо задать начальное значение тензора импеданса при $z = z_N = H$ (поверхность полупространства). Зная $Z_{z=H} = \hat{Z}^H$ легко численно решать задачу Коши для $\hat{Z}_{z=0}$.

Экспериментальные результаты и расчет начального значения \hat{Z}_H

Рассмотрено нижнее полупространство для слоистой среды $z \in [z_N, \infty)$. Здесь не существуют отраженные волны, следовательно, смещение u_x, u_z имеет вид:

$$\begin{cases} u_x^{(N)} = -i\eta_1^{(N)} e^{-\eta_1^{(N)} z_N} C_1 + \gamma e^{-\eta_2^{(N)} z_N} C_2 \\ u_z^{(N)} = \gamma e^{-\eta_1^{(N)} z_N} C_1 + i\eta_2^{(N)} e^{-\eta_2^{(N)} z_N} C_2 \end{cases} \quad (36)$$

Продифференцировав систему (36) по z имеем:

$$\begin{cases} u_x'^{(N)} = i\eta_1^{2(N)} e^{-\eta_1^{(N)} z_N} C_1 - \eta_2^{(N)} \gamma e^{-\eta_2^{(N)} z_N} C_2 \\ u_z'^{(N)} = -\eta_1^{(N)} \gamma e^{-\eta_1^{(N)} z_N} C_1 - i\eta_2^{2(N)} e^{-\eta_2^{(N)} z_N} C_2 \end{cases} \quad (37)$$

Решая систему (36) для C_1, C_2 получим:

$$\begin{cases} C_1 = \frac{i\eta_2 u_x - u_z \gamma}{\eta_1 \eta_2 - \gamma^2} e^{\eta_1 z} \\ C_2 = -\frac{i\eta_1 u_z + u_x \gamma}{\eta_1 \eta_2 - \gamma^2} e^{\eta_2 z} \end{cases} \quad (38)$$

Подставив полученные C_1, C_2 в (37) и совместно с (28) получим:

$$\begin{cases} Z_{xx} - W_1 u_x + Z_{xz} - W_2 u_z = 0 \\ Z_{zx} - W_3 u_x + Z_{zz} - W_4 u_z = 0 \end{cases} \quad (39)$$

Так как выражения в скобках должны быть равны нулю, тогда получим:

$$\begin{cases} Z_{xx} = W_1 \\ Z_{xz} = W_2 \\ Z_{zx} = W_3 \\ Z_{zz} = W_4 \end{cases} \quad (40)$$

где

$$W_1 = -\frac{\mu\eta_2 \eta_1^2 - \gamma^2}{\eta_1 \eta_2 - \gamma^2}, \quad W_2 = -\frac{i\mu\gamma \eta_1^2 - 2\eta_1 \eta_2 + \gamma^2}{\eta_1 \eta_2 - \gamma^2},$$

$$W_3 = \lambda + 2\mu \frac{i\gamma \eta_1 \eta_2 - \eta_2^2}{\eta_1 \eta_2 - \gamma^2} + i\gamma\lambda, \quad W_4 = \lambda + 2\mu \frac{\eta_1 \eta_2^2 - \gamma^2}{\eta_1 \eta_2 - \gamma^2}.$$

Согласно непрерывности тензора импеданса на границе $z_N = z_H = H$ имеем:

$$\hat{Z}_H = \begin{vmatrix} Z_{xx}^{(H)} & Z_{xz}^{(H)} \\ Z_{zx}^{(H)} & Z_{zz}^{(H)} \end{vmatrix} \quad (41)$$

Каждый элемент является тензором второго ранга, который можно представить в виде: $Z_{xx}^{(H)} = W_1 \lambda_H, \mu_H, \rho_H, \gamma$, $Z_{xz}^{(H)} = W_2 \lambda_H, \mu_H, \rho_H, \gamma$, $Z_{zx}^{(H)} = W_3 \lambda_H, \mu_H, \rho_H, \gamma$, $Z_{zz}^{(H)} = W_4 \lambda_H, \mu_H, \rho_H, \gamma$. Таким образом, мы получили начальные значения системы дифференциальных уравнений (35), связанные с постоянными $\lambda_H, \mu_H, \rho_H, \gamma$.

$$\left\{ \begin{array}{l} Z_{xx}^{(H)} = -\frac{\mu^{(H)} \eta_2^{(H)} \eta_1^{2(H)} - \gamma^2}{\eta_1^{(H)} \eta_2^{(H)} - \gamma^2} \\ Z_{xz}^{(H)} = -\frac{i\mu^{(H)} \gamma \eta_1^{2(H)} - 2\eta_1^{(H)} \eta_2^{(H)} + \gamma^2}{\eta_1^{(H)} \eta_2^{(H)} - \gamma^2} \\ Z_{zx}^{(H)} = \lambda^{(H)} + 2\mu^{(H)} \frac{i\gamma \eta_1^{(H)} \eta_2^{(H)} - \eta_2^{2(H)}}{\eta_1^{(H)} \eta_2^{(H)} - \gamma^2} + i\gamma\lambda^{(H)} \\ Z_{zz}^{(H)} = \lambda^{(H)} + 2\mu^{(H)} \frac{\eta_1^{(H)} \eta_2^{2(H)} - \gamma^2}{\eta_1^{(H)} \eta_2^{(H)} - \gamma^2} \end{array} \right. \quad (42)$$

С помощью метода Рунге – Кутты четвертого порядка можно получить решение системы (35) \hat{Z}_0 , и согласно дисперсионному уравнению (26) можем получить характеристики бегущей волны связанной с различными частотами $\gamma(\omega)$, т.е.:

$$f \gamma = \det \hat{Z}^0 = Z_{xx}^0 Z_{zz}^0 - Z_{xz}^0 Z_{zx}^0 \quad (43)$$

Из-за того, что трудно найти аналитическое решение для $\gamma(\omega)$, мы задаем соответствующий интервал $\gamma \in \tilde{\gamma}_1, \tilde{\gamma}_N$ и вычисляем $f(\gamma)$ по маленькому шагу $\Delta\gamma=0.002$ (характеристика $\gamma(\omega)$ имеет физическое значение в виде $\gamma = \omega/c$, где c – фазовая скорость. Из выражения видно, что $\gamma(\omega)$ является маленьким числом, мы не можем хорошо определить его интервал. Поэтому из условия $c < V_s < V_p$ легко задаем интервал $c \in [\xi \min(V_{s_j}), \xi \max(V_{s_j})]$, $j=1, \dots, N$, $0.8 < \xi < 1$, где j – число слоя).

Теперь задаем простую экспериментальную модель для слоистой среды (таблица.1). Зная постоянные ρ , V_p , V_s легко численно вычислить коэффициенты Ламе λ , μ для каждого слоя. Подставив все постоянные в

(35), (42), (43), получим все характеристики γ и фазовые скорости c зависящие от соответствующего периода (рис. 1, рис. 2). Для обработки сейсмических данных принято изучать бегущую волну фундаментального порядка с частотой менее 1 Герца. Поэтому в численных экспериментах для нахождения дисперсионной кривой бегущей волны фундаментальной моды берем интервал частоты 10-200 секунд.

Таблица 1. Коэффициенты среды в модели I

слои	Глубины(Км)	$\rho/(g.cm^3)$	$Vp/(Км/сек.)$	$Vs / (Км/сек.)$
1	10	2.4	3.5	2.1
2	20	2.5	4	2.7
3	∞	3	6	4

Vp – скорость продольной волны, Vs – скорость поперечной волны.

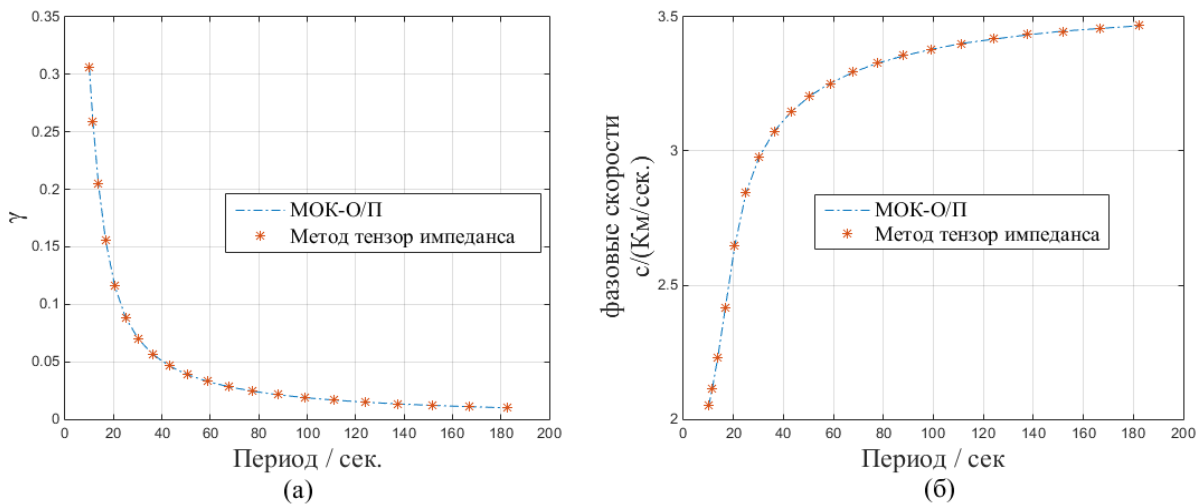


Рисунок 1. а). Сравнение характеристики бегущих волн γ с методами тензора импеданса и МОК-О/П. б). Сравнение фазовых скоростей с методами тензора импеданса и МОК-О/П.

Для проверки устойчивости метода вычислена дисперсионная кривая по двум классическим моделям (таб. 2). В модели II существует низкоскоростной слой. Модель III является моделью увеличения волновой скорости. После получения $\gamma \omega$, $c \omega$ групповые скорости U_γ были получены по формуле:

$$U_\gamma = c \omega \left(1 + \frac{T}{c \omega} \frac{dc \omega}{dT} \right)^{-1} \quad (44)$$

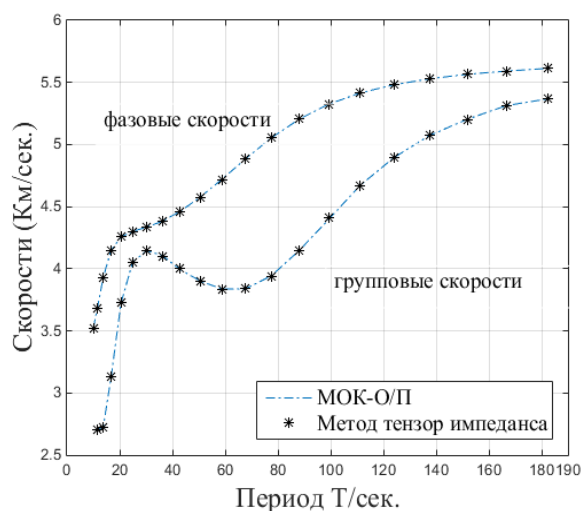
где T – период бегущей волны. Можно заметить, что с помощью метода тензора импеданса полученные результаты хорошо совпадают с методом МОК-О/П, погрешности сравнимы 1% (рис. 2).

Таким образом, метод тензора импеданса позволяет изучать дисперсию бегущей волны, однозначно выделяя бегущей волны фундаментальной моды, это доказывает эффективность описанного метода.

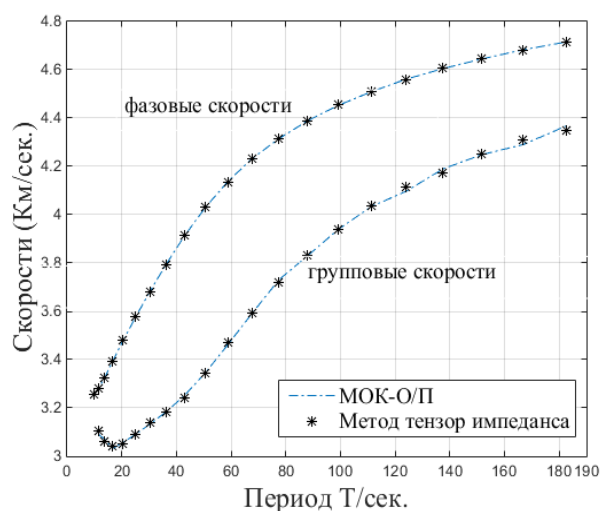
Таблица 2. Коэффициенты среды в модели II и III

Слои	Глубины(Км)		$\rho/(g.cm^3)$		$V_p/(Км/сек.)$		$V_s / (Км/сек.)$	
	M2	M3	M2	M3	M2	M3	M2	M3
1	19	20	2.74	2.8	6.14	6.0	3.55	3.5
2	69	30	3.69	2.9	9.15	6.3	5.04	3.65
3	94	55	3.39	4.0	7.93	6.5	4.37	3.8
4	194	75	4.01	3.2	9.88	7.6	5.45	4.5
5	∞	∞	4.63	2.4	11.35	9.3	6.32	5.6

*M2, M3 представляют соответственно модель II и модель III



(а)



(б)

Рисунок 2. а). Сравнение результатов расчета по модели II. б). Сравнение результатов расчета по модели III.

Литература

1. В.И. Дмитриев, Г.В. Аккуратов, Математическое моделирование сейсмического частотного зондирования. –М.: Изд-во Моск. Ун-та, 1985, с.39-66.
2. Haskell, N. A., 1953. The dispersion of surface waves on multilayered media, Bull. Seism. Soc. Am., 43, 17-34.
3. Knopoff, L., 1964. A matrix method for elastic wave problems, Bull. seism. Soc. Am., 54, 431-438.
4. Knopoff, L., Schwab, F. & Kausel, E., 1973. Interpretation of Lx, Geophys. J. R. astr. Soc., 33, 983-993.
5. F. Gilbert and G. Backus, "Propagator matrices in elastic wave and vibration problems," Geophysics 31, 326–332, 1966.
6. Abo-Zena, A., Dispersion function computations for unlimited frequency values" Geophysical. J. R. Astron. Soc., 1979.

7. *W. Menke*, "Comment on 'Dispersion function computations for unlimited frequency values' by A. Abo-Zena," *Geophysical. J. R. Astron. Soc.* 59, 315–323, 1979.
8. *Aki, K., Richards P. G.*, 1980. *Quantitative Seismology: Theory and Methods*, W. H. Freeman, San Francisco, 1980.
9. *Zhang Shi-Gong, Wu Xian-Mei, Zhang Bi-Xing, An Zhi-Wu*, Propagation properties of one-dimensional nonlinear acoustic waves, *Acts Physica Sinica*, 65, 2016.
10. *Bixing Zhang, M. Yu, C. Q. Lan, and Wei Xiong*, Elastic wave and excitation mechanism of surface waves in multilayered media, *The Journal of the Acoustical Society of America* 100, 3527, 1996.
11. *Chen X. F.*, A systematic and efficient method of computing normal modes for multi layered half-space. *Geophysical J. Int.*, 115: 391~409, 1993.
12. *He Y F, Chen W T, Chen X F.* Normal mode computation by the generalized reflection-transmission coefficient method in planar layered half-space. *Chinese J. Gophys.* (in Chinese), 49(4):1074~1081, 2006.
13. *Donghong Pei, John N. Louie, and Satish K. Pullammanappallil.* Improvements on Computation of Phase Velocities of Rayleigh Waves Based on the Generalized R/T Coefficient Method. *Bulletin of the Seismological Society of America*, Vol. 98, No. 1, pp. 280–287, February 2008.
14. *Pan J. T., Wu Q. J., Li H. Y.*, Group velocities computation of surface waves based on the fast generalized R/T coefficient method. *Progress in geophys* (in Chinese). 24(6): 2030-2035, 2009.
15. *Zhang Fan-chang and Yin Xing-yao*, Elastic wave equation inversion of seismic data in layered half-space. *OGP*, 40(5):523-529, 2005.
16. *Ma X.Q.*, Simultaneous inversion of prestack seismic data for rock properties using simulated annealing, *Geophysics*, 67(6): 1877~1885, 2002.
17. *Simmons J.L. and Baekus M. M.*, AVO modeling and the locally converted shear wave. *Geophysics*, 59, (3):1237~1248, 1994.